

## 徳島市で 32 年ぶりに震度 4 を記録した地震について

許斐 直・近藤 和男

### ON THE EARTHQUAKE FELT WITH JMA INTENSITY SCALE 4 IN TOKUSHIMA CITY AFTER AN INTERVAL OF 32 YEARS

By *Tadashi Konomi* and *Kazuo Kondo*

#### Synopsis

Many people felt the earth shake strongly in Tokushima city on June 13, 1994.

Consequently the elevators in buildings stopped automatically, and the transportation facilities were inspected for safe. Shallow earthquake with magnitude 4.1 occurred just under the city area.

The earthquake accompanied one small foreshock and 25 aftershocks in about 3 days.

We examined the precise location and focal mechanism solution of this earthquake by taking use of high sensitive seismogram and strong motion seismogram.

#### 1. はじめに

1994 年 6 月 13 日 11 時 13 分徳島市中心部で強い地震動が感じられた。この影響でビルのエレベーターが自動的にストップした。又、鉄道・高速道路・空港では安全点検を行って異常の無い事を確認した上で正常復帰した。徳島地方気象台の計測震度計は最大加速度 97.1 gal, 震度 4 を観測した。徳島市で中震（震度 4）を記録したのは 1962 年 1 月 4 日に和歌山県田辺市沖で発生したマグニチュード 6.4（深さ 40 km）の地震以来 32 年振りであり、又 1963 年から後の年間有感地震回数は平均して 5 回程度と少ない事もあって突き上げる様な揺れに市民は大きな驚きを示した。幸い震源近くの強震観測データ入手出来たので、これまで不明であった震源決定の精度なども明らかにする事が出来た。

#### 2. 震源位置

大阪管区気象台によればこの地震の震源は  $134^{\circ}36.7' \text{ E}$ ,  $34^{\circ}4.6' \text{ N}$ , 深さ 10 km に求められ震央は吉野川河口付近に位置する。又発震時刻は 11 時 13 分 37.43 秒、マグニチュードは 4.1 である。一方微小地震観測網の観測値に徳島気象台の値を加えて求めた震源は Fig. 1 の A ( $134^{\circ}35'52'' \text{ E}$ ,  $34^{\circ}5'12'' \text{ N}$ ) の位置、深さ 7.7 km で発震時は 37.53 秒である。これらの震源はほぼ一致していると見て良い。徳島気象台 (TKS) から見ていずれの震源も第 1 象限にあるが、この 59 型地震計初動は西・南・引きで明らかに矛盾している。又徳島気象台より約 10 km 西にある徳島観測所 (石井 ISI) でもその初動の方位からは東方・やや南側と推定される。

この初動方向と震源位置の矛盾を解決するため利用可能なデータを捜した所、徳島市津田町 (Fig. 1 TSUD) の港湾建設局の ERS-G 型強震計が明瞭な波形を記録していた。(Fig. 2) この記録は時刻精度が



Fig. 1. Location map of epicenter and observation station. A is the epicenter by wide spreading network and B is by local network. TKS is the point of Tokushima meteorological agency and TSUD is of Construction office of harbor (Tsuda). ISI is located in the direction of an arrow.

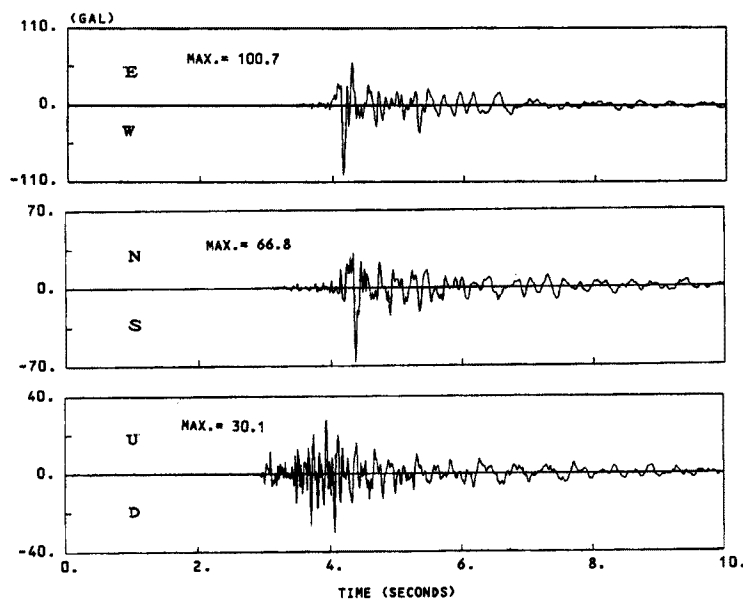


Fig. 2. Strong motion seismogram of ERS-G seismometer controloled by Construction office of harbor. (situated in Tsuda cho) First P motion is detected as dilatational wave and clear S wave is read by E-W component.

悪いのでP時刻は使えないが上下動の立ち上がり(引き), 及びPS時1.00秒を得る事が出来る。この値及び徳島気象台のPS時1.00秒及び石井のPS時1.85秒(前震の値)を用い大森定数K=8.0 km/sを仮定して作図によって求めた震源がFig. 1B(134°33'55"E, 34°02'56"N深さ7.5 km)である。広域の観測網で求めた震源Aから約5 km南西の地点となった。

### 3. メカニズム解

震源が浅く地震の規模もそれ程大きくなかったが、多くの観測点でのP波初動の押し引きのデータが得られた。Fig. 3にこれらの初動分布を白丸を引き、黒丸を押しとしてプロットした。図には筆者等が定常的な震源決定に於いて主に用いている微小地震観測点の名称を記入してある。南の海側の点が少ないが東西の領域に引き、南北の領域に押しの点が分布するストライクスリップ型である事が明らかである。

ここに求められた約60個の押し引きデータを用いて先の震源に對して震源球解を求めた。仮定したP波の速度構造は5.5 km/s層が厚さ5 km, 6.1 km/s層を厚さ15 km, 6.7 km/s層を厚さ15 km, としモホ面を深さ35 kmとしてこれ以下を7.8 km/sと仮定した。

計算及び図示の方法は許斐他(1992)<sup>1)</sup>に述べられている。Fig. 4にこの結果を示した。P軸は東西方向より反時計まわりに5°又水平より10°東上りの方位となつた。一方T軸は南北より8°反時計まわりそして水平より15°北上りに偏っている。

ここに得られた解は徳島気象台(TKS)を除く62点の押引きデータより求めたものでTKSの白丸(引き)は後でその位置に図示した。須鎗等(1972)<sup>2)</sup>によれば徳島気象台付近での沖積層の厚さは30~35 mであるがこの下の洪積層(北島層)の基底は不明である。又坂出・一字爆破による三波川帶の地下構造は表層に1 km程度の薄い4.8 km/sの層がありその下に5.9 km/s層が分布しているものが考えられている<sup>3)</sup>。一方木村等<sup>4)</sup>は三波川結晶片岩層でのP波速度を5.5 km/sとして深さ3 km程度から5.9 km/s層の地震発生層(花崗岩質層)が存在すると考えている。いずれにしても成層をなす広域のP波の速度構造に對して明らかに矛盾するTKSの引き波であるが観測点直下の局所的な構造を考慮すれば解決可能である

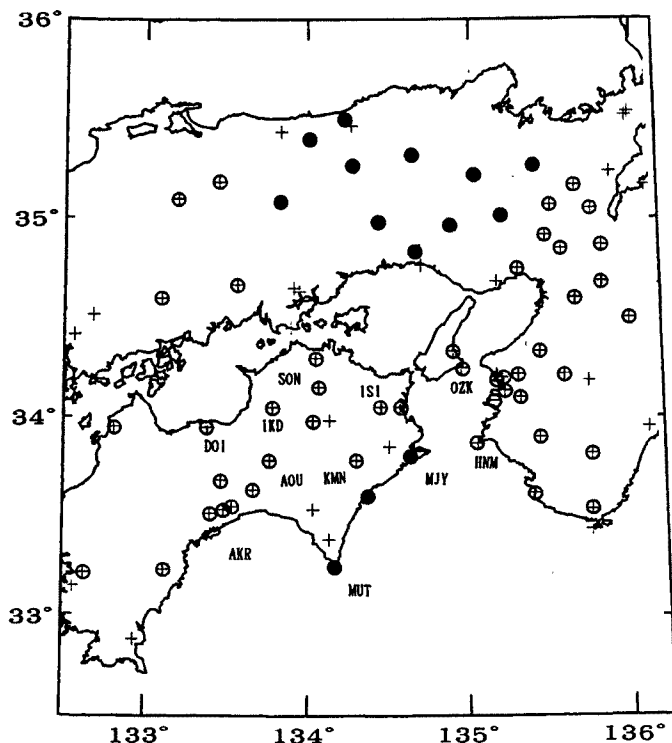


Fig. 3. Push and pull distribution of P first motion. Open circles are dilatational and solid ones compressional, respectively. Named stations are used for hypocentral determination usually. The polarity of TKS station is contradictory to the solution, but it may be possible that the contradiction is explained by refraction through discontinuity of inclinational P wave structure.

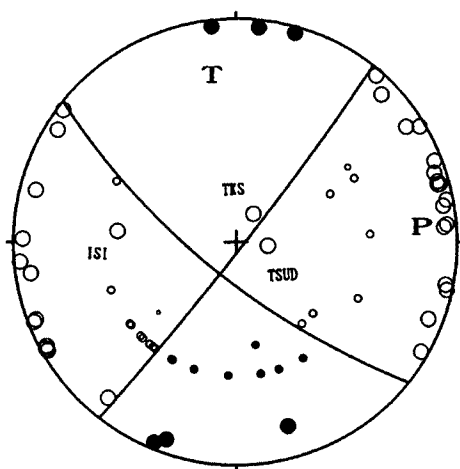


Fig. 4. Focal mechanism solution. (projected on upper hemisphere of Wulff's net) Names of local observation station are entered. Parameters of solution are, P (A, D=85°, 10°), T (A, D=352°, 15°), N (A, D=207°, 72°), N 1 (A, D=39°, 72°) and N 2 (A, D=308°, 86°).

列を示した。本震及び18日2時47分、20日3時47分の地震を中心に間歇的に地震が発生して21日の4時には完全に終息した。Fig. 5には極く小さな余震を含めてS-P時間の範囲(1.7~2.2秒)を示したが実際には1.85~2.2秒と考えて良い。即ち大森定数を8.0 km/sとすると2.4 km程度の広がりである。尚震源決定の際、石井に対しては前震のPS時間を用いたが明神山と石井のP時刻の差(P: Mjy-Isi)から判断して妥当な事が分かる。

かどうかは、大森定数kを8.0 km/sと仮定して行った今の震源位置が妥当であるかどうかの検討を含めて行う必要があるのでこの項ではこれ以上立ち入らない事とする。

#### 4. 地震系列

この地震は12分前に1個の小さな前震を伴った。又約3日間に25個の余震が発生した。多くのものは石井観測点の煤書きモニター記録にだけ記録されただけの小さなものであったが、この内の主なものをTable 1に示す。4点以上で震源の求められた地震(MAEQ処理)は20日3時47分のみであった。Fig. 5にこれらの時系

Table 1. List of earthquakes with magnitude over 1.0. S-P time spread mainly within 0.25 sec.

NO.	D	H	M	V	N	E	PS	MG	Mjy-Isi
01	17	11	01	-I 4.2	-I	+I	1.85	1.4	3.28
02		11	13	-I S.0.	-I	+I		4.0	3.27
03		11	14	-I S.0.		+I	1.87	1.1	
04		11	17	-I 4.5	-I	+I	1.90	1.4	
05		12	14	-I 5.1	-I	+I	1.90	1.5	
06		12	49	-I 4.9	-I	+I	1.90	1.5	
07		13	27	-I 2.3	-I	+I	2.00	1.1	
08	18	01	38	+I 0.3		-I	1.80	1.0	
09		02	09	-I 2.6	-I	+I	2.15	1.2	
10		02	47	-I 8.2	-I	+I	1.90	1.9	
11	19	13	18	-I 3.6	-I	+I	1.90	1.4	
12	20	02	07	-I 4.2	-I	+I	2.05	1.6	
13		02	16	-I 0.6	+I	+I	1.90	1.0	
14		03	47	-I 15.2	-I	+I	2.05	1.9	3.22
15		07	06	-I 1.8	-I	+I	2.20	1.1	

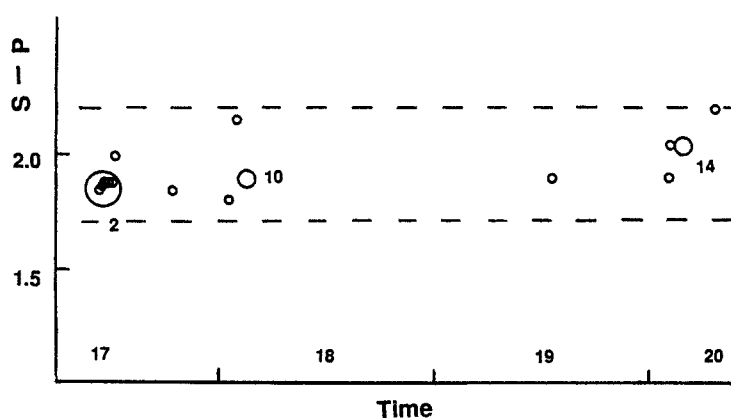


Fig. 5. The time series plotted for S-P time. NO. 2 (main shock), NO. 10 and NO. 14 are the earthquakes of the center of each burst.

## 5. 最近の浅発地震の分布

最近の四国地方の浅発地震の活動はかなり低調である<sup>5)</sup>。Fig. 6 に 1988 年の半ばから 6 年間に筆者等が観測した地震の震央分布図を示したが徳島県の内陸部の地震でマグニチュード 4 以上は今回の地震だけであり (Table 2) 近年では稀な地震であった事が分かる。

図中では今回の地震を A で示し、震源位置は広域観測網による結果をそのままプロットしてある。同じ円内には直後の余震 1 個と 8 月 15 日に本震の位置に発生した M 1.8 の地震もプロットされている。又 H としたのは日の岬沖地震群であり相変わらず活発な活動を続けている。前回報告<sup>6)</sup>以降震央分布の空隙は徐々に埋められているが吉野川中流域・讃岐山脈部分の中央構造線に広大な空白領域が存在する事は從来通りで注目に値する。又北部紀伊水道では従来ほとんど地震の発生が見られない<sup>7)</sup>がこの期間 ('94 年 2 月及び 7 月) 沼島西南に 2 ケの浅い地震 (N) が観測されている。いずれも M 2 程度の小さな地震であるが非常に珍しい地震である。

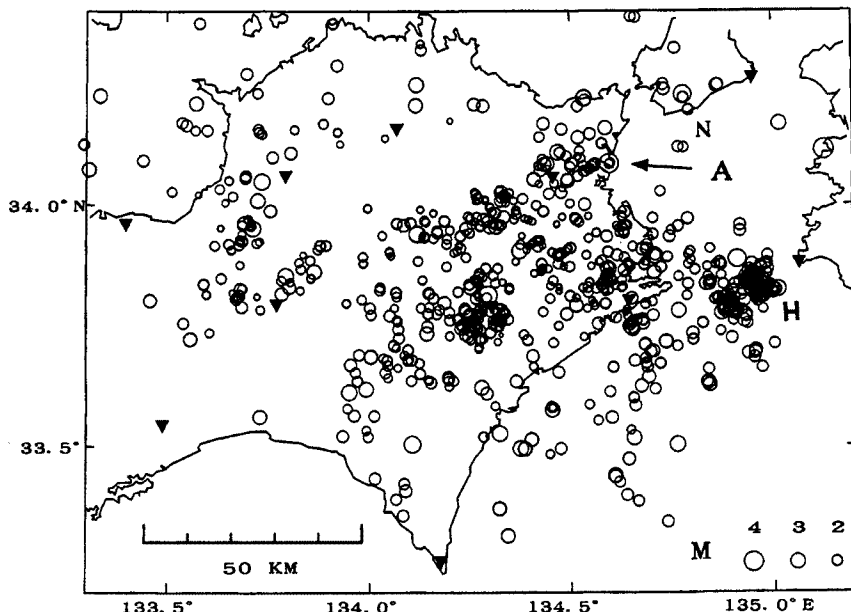


Fig. 6. Distribution of epicenters in the crust ( $H < 23$  km, 1988. 8–1994. 8). A, H and N denote earthquakes of Tokushima city, off Hinomisaki and near Nushima, respectively.

Table 2. List of earthquakes with magnitude above 4.0 in the period from August 1988 to August 1994.  
The center of coordinate is the cross point of 134°E and 34°N lines.

Y	M	D	H	M	S	X	Y	Z	M	Region
91	03	10	15	01	40.11	87.4	-16.4	3.5	4.1	Off Hinomisaki
91	08	20	22	23	17.73	89.4	-20.1	13.4	4.0	Off Hinomisaki
93	08	16	06	44	33.40	104.2	13.1	22.0	4.2	Wakayama Pref.
94	05	08	17	02	0.50	104.5	12.6	18.2	4.8	Wakayama Pref.
94	06	17	11	13	37.53	52.2	5.4	7.5	4.1	Tokushima City

## 6. まとめと今後の課題

地質帯として三波川帯に属する地域の上部地殻では深さ約3kmから10kmに地震が分布する<sup>8)</sup>。今回の地震はこの地震発生層の中で起ったが、震源が極めて浅かったため震央付近で強い地震動があった。震源決定に強震計から得られたS-P時を用い大森定数kを8.0km/sと仮定したが、この値は極く近い震源に対してはかなり大きすぎるようである。石井観測点で観測される地震のS-P時の最小値は0.6秒程度であるが地震層の上面を深さ3kmとするとkは5km/sとなる。沖積層・洪積層の上にある徳島気象台及び三波川結晶片岩が近くに露出している津田、そして震央距離約10kmの石井のそれぞれに対するkの値の選び方によって震源はさらに浅くなり水平方向にも若干移動する可能性がある。この地震の震源決定の結果、従来から求めて来た広域の観測網による位置は場所により少なくとも5km程度の誤差を伴う事が分かった。これをより正しい値にするためには方位による速度構造の相違を考慮して行かなければならない。

## 7. 謝 辞

この地震の騒動あるいは波形資料を以下の観測所、機関の方々より提供戴いた。東京大学地震研究所和歌山地震観測所、高知大学理学部高知地震観測所、京都大学防災研究所阿武山観測所・鳥取観測所、岡山大学理学部地学科、大阪管区気象台、徳島地方気象台、運輸省港湾技術研究所。又奈良気象協会松本久氏には徳島気象台の59型地震計初動と広域観測網による震源位置の矛盾について指摘下さり、研究を促進させるきっかけを与えて下さった。ここに記して感謝致します。

## 参考文献

- 1) 許斐 直・渡辺 晃・伊藤 潔・近藤和男：四国東部および周辺地域における地震の発震機構、京都大学防災研究所年報、第35号、B-1、1992、pp.333-346.
- 2) 須鎌和巳・阿子島功：四国東部および淡路島の海岸平野の原形、地質学論集、第7号、1972、pp.161-170.
- 3) 井上 公・浅野周三・吉井敏尅・松村一男・村上寛史・佐々木嘉三・多田 勇：1980年坂出・一字爆破地震動観測による四国北東部の地殻構造、地震第2輯、第37巻、1984、pp.163-183.
- 4) 木村昌三・岡野健之助：四国地方の下部地殻とモホロヴィッチ不連続面、高知大学学術研究報告、第4巻、自然科学分冊、1991、pp.49-61.
- 5) 高知大学理学部高知地震観測所：地震予知観測の成果(3)－近畿・中国・四国・九州・沖縄地域－、地震予知連絡会地域部会報告、第6巻、1994、pp.72-73.
- 6) 許斐 直・近藤和男：徳島観測所の新旧観測システムの震源決定能力の比較、京都大学防災研究所年報、第34号、B-1、1991、pp.253-262.
- 7) 岡野健之助・木村昌三・許斐 直・中村正夫：四国及び周辺地域の震源分布、地震第2輯、第38巻、1985、pp.93-103.
- 8) 岡野健之助・木村昌三・許斐 直：四国地方の震源分布と地質構造線との関連、地震第2輯、第36巻、1983、pp.23-29.

## Appendix : List of stations and phase data.

STATION		Long.	Lat.	H	P-time	pl.	S-time	Remarks
KMN	Kaminaka	134 18 20.7	33 47 11.4	280	13 45.05	—	50.55	Tokushima Obs. S-P (1.85)
IKD	Ikeda	133 47 34.2	34 3 34.8	340	13 49.75	—		
SON	Shionoe	134 4 13.2	34 9 23.0	286	13 46.13	—	52.32	
ISI	Ishii	134 27 29.0	34 3 26.4	27	13 40.09	—		
MJY	Myojin-yama	134 38 47.7	33 48 5.0	380	13 43.36	+	47.54	Wakayama Obs.
KZG	Kozagawa	135 45 42.1	33 32 12.9	20	13 57.59	—		
OZK	Oishizaki	134 57 9.1	34 15 52.3	112	13 44.29	—		
HNM	Hinomisaki	135 3 59.6	33 52 55.8	189	13 45.89	—	51.77	
SHR	Shirahama	135 24 39.0	33 37 47.0	170	13 53.13	—		
ARD	Arida	135 09 42.0	34 05 07.0	41	13 45.61	—		
WKM	Wakayama	135 10 02.0	34 11 27.0	5	13 46.11	—		
KKW	Kainokawa	135 26 56.0	33 54 03.0	235	13 51.10	—		
HGU	Hongu	135 45 53.4	33 49 21.8	185	13 55.74	—		
OIS	Oishi-yama	135 19 18.6	34 6 5.3	840	13 47.99	—		
HBR	Haibara	135 59 36.0	34 30 10.0	390	13 59.76	—		
KRS	Katsuragisan	135 26 36.0	34 20 40.0	830	13 51.25	—		
KIS	Kishinomiya	135 18 00.0	34 13 19.0	75	13 48.11	—		
ONO	Ononaka	135 13 50.0	34 08 42.0	50	13 46.78	—		
CWK	Wakayama-jo	135 10 33.0	34 13 27.0	45	13 46.44	—		
OKZ	Okazaki	135 12 44.0	34 12 36.0	10	13 46.89	—		
GT 9	Gotanda	134 22 42.7	33 36 50.9	20		+		
AOU	Aou	133 46 14.3	33 47 32.3	470	13 51.29	—	00.67	Kochi Obs.
MUT	Muroto	134 10 36.3	33 15 41.8	140	13 55.06	+	07.17	
AKR	Asakura	133 29 19.3	33 32 37.6	0	13 57.81	—	02.48	
DOI	Doi	133 23 51.0	33 57 39.1	120	13 55.96	—	09.71	
WMY	Wakamiya	133 40 30.0	33 38 31.0	230	13 54.18	—		
IHR	Ishihara	133 28 16.0	33 41 17.0	510	13 56.22	—		
KUB	Kubokawa	133 07 07.0	33 14 08.0	250	14 04.54	—		
SAS	Sasayama	133 24 01.4	33 31 20.7	310	13 58.95	—		
RKO	Rokko	135 18 06.0	34 45 50.0	540	13 54.19	—		Abuyama Obs.
ABU	Abuyama	135 34 25.0	34 51 36.0	138	13 59.74	—	12.93	
UJI	Uji	135 49 37.0	34 52 00.0	290	14 01.52	—		
OHM	Omi-hachiman	136 05 01.0	35 10 26.0	120	14 06.48	—		
BHO	Bomura	135 52 22.0	35 14 41.0	380	14 06.02	—		
WTJ	Wachi	135 24 05.0	35 16 57.0	172	14 02.45	+		
TNJ	Tannan	135 12 49.0	35 01 53.0	310	13 57.26	+		
KTN	Katano	135 42 18.9	34 46 17.9	250	13 58.35	—		
KGM	Kamigamo	135 45 56.7	35 03 33.5	180	14 02.48	—		
YGI	Yagi	135 30 42.8	35 04 05.2	180	14 01.19	—		
MYO	Myoken	135 28 13.7	34 55 31.5	640	13 57.84	—		
KHK	Keihoku	135 39 44.3	35 10 38.8	260	14 02.98	—		
HMT	Hikami	135 02 37.0	35 13 36.0	250	14 04.91	+		Tottori Obs.
MZT	Mikazuki	134 26 41.0	34 59 12.0	200	14 00.49	+		
QMT	Kume	133 50 56.8	35 05 18.6	330	14 05.17	+		
TTT	Tottori	134 14 16.0	35 30 52.9	10	14 09.46	+		
SNT	Shikano	134 01 13.3	35 24 37.8	200	14 08.56	+		
CZT	Chizu	134 17 36.8	35 16 10.1	300	14 05.03	+		
OYT	Oya	134 39 56.8	35 19 18.5	230	14 06.25	+		
IZT	Izumi	134 53 15.5	34 58 20.0	230	14 00.00	+		
TRT	Tari	133 12 05.8	35 06 07.8	480	14 11.01	—		
HIM	Himeji	134 40 24.0	34 50 12.0	39	13 51.8	+	01.6	JMA S-P (1.01)
TOK 2	Tokushima 2	134 02 54.0	33 59 0.0	180	13 46.3	—	53.2	
SMT	Sumoto	134 54 30.0	34 20 06.0	110	13 44.5	—		
WKY 2	Wakayama 2	135 35 36.0	34 13 12.0	695	13 52.3	—	03.7	
TKS	Tokushima	134 34 36.0	34 03 54.0	2	13 39.0	—	40.0	
KOC	Kochi	133 32 12.0	33 33 12.0	17	13 57.1	—	09.5	
TKM	Takamatsu	134 03 24.0	34 18 54.0	10	13 47.5	—	54.6	
TOTJ	Tottori 2	134 16 18.0	35 28 42.0	27	14 03.4	—	21.9	
OWS	Owase	136 11 42.0	34 04 00.0	17	14 02.1	—	18.9	
YONJ	Yonago 2	133 27 48.0	35 11 18.0	320	14 03.5	—	22.6	
SHJ	Shionomisaki	135 45 48.0	33 26 54.0	44	13 58.3	—	13.3	
TKU	Takayashiyama	135 39 36.0	34 36 42.0	472	13 56.3	—		
MRT 2	Murotomisaki 2	134 08 36.0	33 23 12.0	0	13 53.1	—	03.0	
UWA 2	Uwajima 2	132 37 30.0	33 13 06.0	0	14 09.9	—	34.5	
TSUD	Tsuda	134 35 13.5	34 02 48.6	2		—		S-P (1.00) C. O. of harbor
MHS	Mihoshi	133 34 24.9	34 40 36.0	518		—		Okayama univ.
HJO	Hojo	132 48 55.1	33 57 47.5	360	14 04.58	—		Shiraki Obs.
MKW	Mikawa	133 06 26.0	34 36 40.0	320	14 01.92	—	19.68	